

# Modelování pevných těles

Pavel Strachota

FJFI ČVUT v Praze

12. března 2015

# Obsah

- 1 Reprezentace pevných těles
- 2 Objemové reprezentace
- 3 Tahové reprezentace
- 4 Hraniční reprezentace
- 5 Polygonální síť

# Obsah

- 1 Reprezentace pevných těles
- 2 Objemové reprezentace
- 3 Tahové reprezentace
- 4 Hraniční reprezentace
- 5 Polygonální síť

# Proč nestačí povrchy

snaha vytvořit model pevného tělesa, protože:

- potřeba odlišit vnitřek a vnějšek objektu
- potřeba odlišit vnější a vnitřní *povrch*, orientaci povrchu
- modelování optických vlastností materiálu - v objemu
- fyzikální využití modelu
  - fyzikální vlastnosti - objem, těžiště
  - CAD/CAM - model budoucího výrobku (součástky stroje apod.)
  - automatizace výroby - obrábění atd. podle modelu

# Vlastnosti ideální reprezentace pevného tělesa

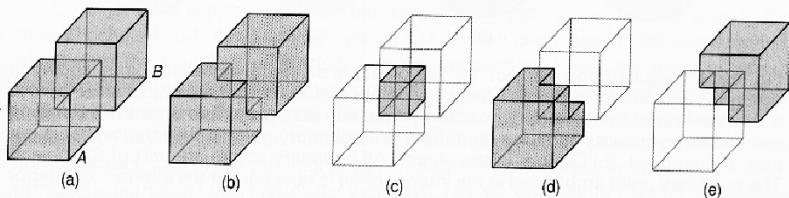
- schopnost reprezentovat širokou škálu těles
  - absence omezení typu: jen konvexní tělesa, jen tělesa bez děr apod.
- *jednoznačnost*
  - 1 daná reprezentace vyjadřuje jediný objekt (tzv. *úplnost*)
  - 2 jeden objekt lze reprezentovat jen jedním způsobem
- *přesnost* - modelování objektu bez aproximací
- „*platnost*“, resp. korektnost - nemožnost reprezentovat objekt, který není 3D těleso (např. jeho část má nulový objem - křivka, plocha,...)
- uzavřenost vůči transformacím (rotace, škálování)
- efektivita z hlediska
  - 1 vytvoření reprezentace
  - 2 kombinace objektů (viz CSG)
  - 3 paměťových nároků
  - 4 složitosti vykreslování

# Typy reprezentace

- 1 *objemová* (výčtová) - objekt vyjádřen pomocí specifikace objemových buněk prostoru
  - prostor rozdělen uniformně či neuniformně
- 2 *hraniční* (povrchová) - popis povrchu objektu pomocí sjednocení „plátů“ - obvykle variet
- 3 *tahová* (sweep representation, extrusion rep.) - vznik tělesa pohybem objektu (2D i 3D) po dané trajektorii

## Regularizované booleovské operace 1/2

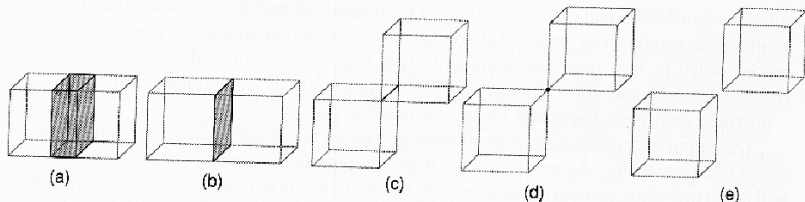
- základ tzv. konstruktivní geometrie pevných těles (CSG - Constructive Solid Geometry)
- operace s tělesy jako s množinami ve 3D: sjednocení, průnik, rozdíl
- výsledkem těchto operací musí být opět 3D těleso nebo prázdná množina



Boolean operations. (a) Objects  $A$  and  $B$ , (b)  $A \cup B$ , (c)  $A \cap B$ , (d)  $A - B$ , and (e)  $B - A$ .

## Regularizované booleovské operace 1/2

- základ tzv. konstruktivní geometrie pevných těles (CSG - Constructive Solid Geometry)
- operace s tělesy jako s množinami ve 3D: sjednocení, průnik, rozdíl
- výsledkem těchto operací musí být opět 3D těleso nebo prázdná množina



The ordinary Boolean intersection of two cubes may produce (a) a solid, (b) a plane, (c) a line, (d) a point, or (e) the null set.



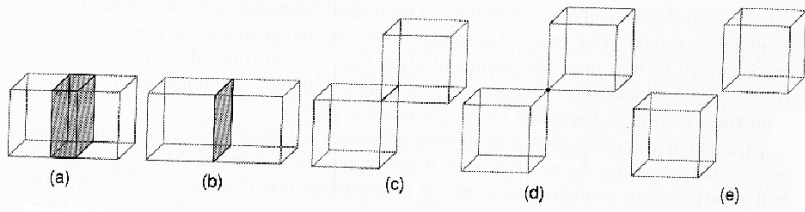
## Regularizované booleovské operace 2/2

- *regulární* těleso - je rovné uzávěru svého vnitřku:  $A = \overline{A^0}$
- regularizované operace:

$$A \bullet^* B := \overline{(A \bullet B)^0},$$

kde  $\bullet \in \{\cup, \cap, -\}$

- $A \cap^* B = \emptyset$  v případech (b), (c), (d), (e)



# Obsah

- 1 Reprezentace pevných těles
- 2 Objemové reprezentace**
- 3 Tahové reprezentace
- 4 Hraniční reprezentace
- 5 Polygonální síť

# Objemová reprezentace

- prostor rozdělen do buněk (voxelů)
- reprezentace tělesa pomocí obsazenosti voxelů
- omezená přesnost  $\implies$  použití spíše jako pomocných datových struktur

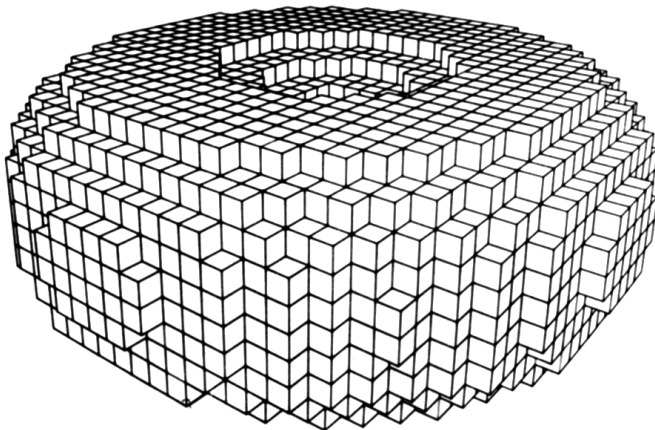
## Typy rozdělení prostoru:

- buněčný model
- oktalový strom (*octree*)
- BSP strom

# Buněčný model

- identické buňky v pevné pravidelné mřížce
- obvykle buňka (voxel) = krychle
- každá buňka má stav: obsazená / neobsazená
- přesné vyjádření jen objektů se stranami rovnoběžnými s mřížkou - aliasing
- reprezentace objemových dat v medicíně (CT, MRI)
- vykreslování: překreslování přivrácených stran buněk odzadu dopředu

# Buněčný model - příklad



buněčný model toru

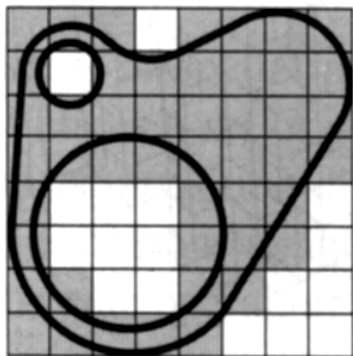
## Oktalový strom (*octree*)

- hierarchická varianta buněčného modelu - adaptivní zjemnění podle tvaru tělesa

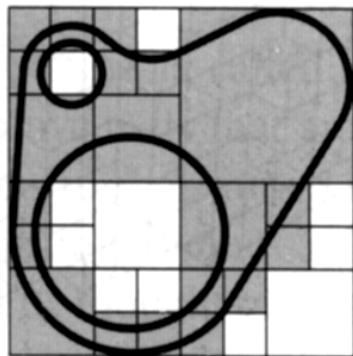
### Princip:

- konečný prostor (krychle) rozdělen v každém ze 3 rozměrů na polovinu  $\implies$  osm oktantů
- každý z oktantů může být
  - prázdný
  - plně obsazen objektem
  - částečně obsazen objektem
- částečně obsazený oktant se rekurzivně dělí stejným způsobem
- stejný princip v rovině: kvadrantový strom (*quadtree*)

## Kvadrantový strom (*quadtree*) 1/2



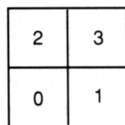
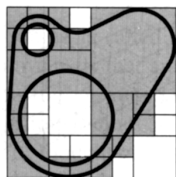
(a)



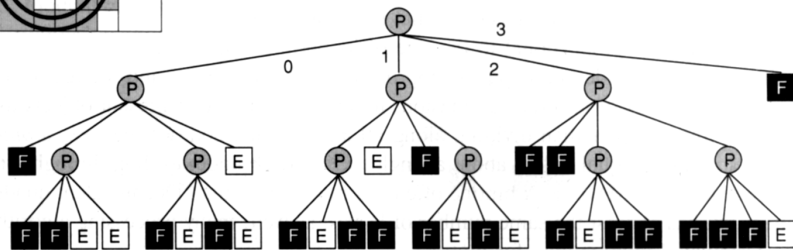
(b)

(a) pravidelná mřížka, (b) quadtree reprezentace

## Kvadrantový strom (*quadtree*) 2/2



Quadrant numbering

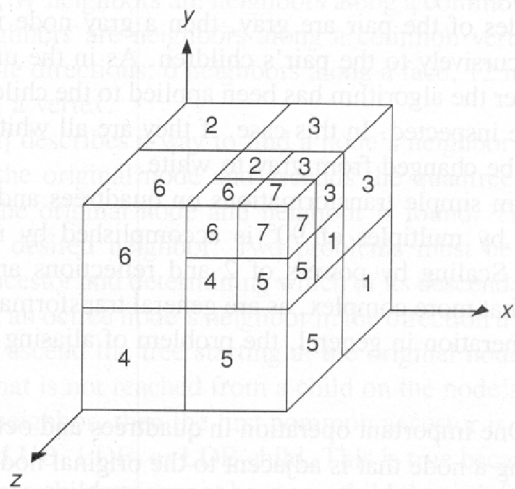


datová struktura quadtree pro objekt na předchozí stránce.

E = prázdný (empty), F = plný (full), P = částečně obsazený (partially occupied)

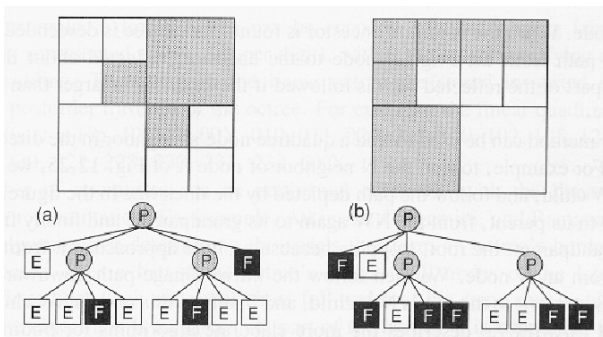


# Enumerace oktantů v octree



# Booleovské operace na quadtree a octree 1/4

- reprezentace uzavřená vůči booleovským operacím
- vhodná reprezentace pro snadné provedení sjednocení, průniku, rozdílu
- uvažujme objekty  $A, B$  a chceme  $A \cup B$



## Booleovské operace na quadtree a octree 2/4

- $E$  = prázdný,  $F$  = plný,  $P$  = částečně obsazený
- zaved'eme operaci sjednocení:  
 $F \cup F = F$ ,  $F \cup E = F$ ,  $F \cup P = F$ ,  
 $P \cup P = P$ ,  $P \cup E = P$ ,  
 $E \cup E = E$

### Struktura quadtree

```
struct Qtree;  
struct Qtree {  
    enum {E,P,F} stat;  
    Qtree * child[4];  
};
```

## Booleovské operace na quadtree a octree 3/4

### Algoritmus pro $A \cup B$

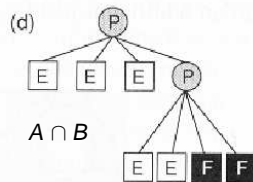
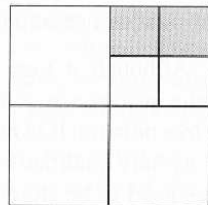
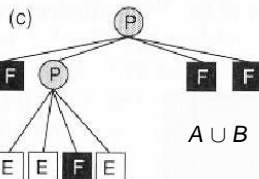
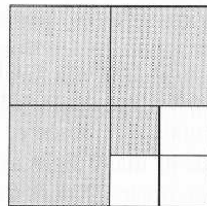
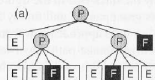
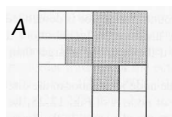
```

Qtree * Q_union(Qtree * A, Qtree * B) {
    bool full = true; Qtree * result = new Qtree;
    result->stat = A->stat  $\cup$  B->stat;
    if(result->stat == P) {
        if(A->stat == P && B->stat == P) {
            for(int i=0;i<4;i++) { result->child[i] =
                Q_union(A->child[i], B->child[i]);
                if(result->child[i].stat != F) full = false; }
            if(full) {
                for(int i=0;i<4;i++) delete result->child[i];
                result->stat = F;
            }
        } else if(A->stat == E) Q_copyTree(B, result);
            else Q_copyTree(A, result);
    }
    return result;
}

```

# Booleovské operace na quadtree a octree 4/4

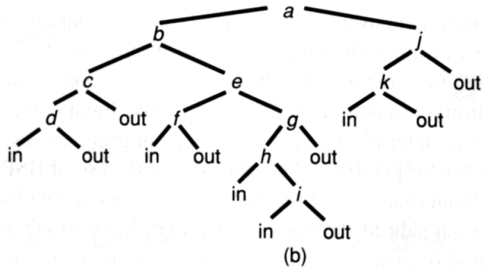
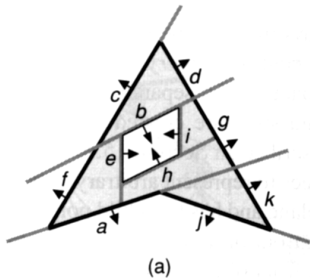
- průnik analogicky jako sjednocení - pouze prohození významu  $E \leftrightarrow F$  a  $\cup \leftrightarrow \cap$
- na octree vše úplně stejně (jen místo 4 potomků je jich 8)



# BSP stromy

- **BSP** = Binary Space Partitioning - binární rozdělení prostoru
- rekurzivní dělení prostoru na poloprostory oddělené libovolně umístěnou a orientovanou rovinou
- původní použití binárních stromů - viditelnost povrchů
  - později: reprezentace libovolných mnohostěnů
- uzel BSP stromu - svázán s rovinou, jejíž normála směřuje ven z objektu (úmluva)
- 2 potomci:
  - **levý** potomek = rozdělení poloprostoru **proti směru** normály k rovině, nebo NULL (lze implementovat jako list „*in*“ - identifikuje poloprostor, který leží uvnitř tělesa)
  - **pravý** potomek = rozdělení poloprostoru **ve směru** normály k rovině, nebo NULL (lze implementovat jako list „*out*“ - identifikuje poloprostor, který leží vně tělesa)

# BSP Stromy - příklad



# Konstruktivní geometrie CSG

- CSG = Constructive Solid Geometry - konstruktivní geometrie pevných těles
- kombinace jednoduchých objektů (tzv. *primitiv* - koule, válec, krychle, ...) pomocí regularizovaných booleovských operací

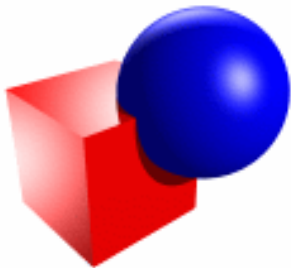
## Vyjádření objektu pomocí binárního stromu

- uzel stromu obsahuje booleovskou operaci, potomci jsou jejími operandy
- listy jsou geometrická primitiva

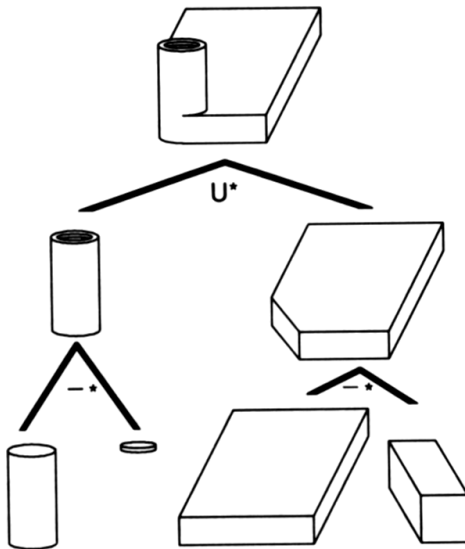


# CSG - příklady

- $A$  ... krychle,  $B$  ... koule

 $A \cup B$  $A \cap B$  $A - B$

# CSG - konstrukce stromu



## CSG - možnosti

- CSG reprezentace není jednoznačná (stejný výsledek lze nakombinovat více způsoby)
- primitiva mohou být reprezentována v normovaném tvaru (jednotková koule v počátku, jednotková krychle atd.)
- k operacím mohou přibýt i maticové transformace (rotace, translace, škálování)
- transformace lze aplikovat na primitiva i kdekoliv výše ve stromu na složitější tělesa
- zobrazování CSG reprezentace - raytracing, raycasting

# Obsah

- 1 Reprezentace pevných těles
- 2 Objemové reprezentace
- 3 Tahové reprezentace**
- 4 Hraniční reprezentace
- 5 Polygonální síť

# Tahové reprezentace

- *sweep* representation, šablonování
- pohyb objektu  $A_0 \in \mathbb{R}^3$  (nebo  $A_0 \in \mathbb{R}^2$  - rovinný objekt)
  - tažení po určité trajektorii  $H_s$  dané funkcí  $s : [0, T] \mapsto \mathbb{R}^3$
  - současná transformace pomocí operátoru  $Q : [0, T] \mapsto \mathcal{L}$  závislého na „čase“

⇒ vznik nového objektu  $A$ :

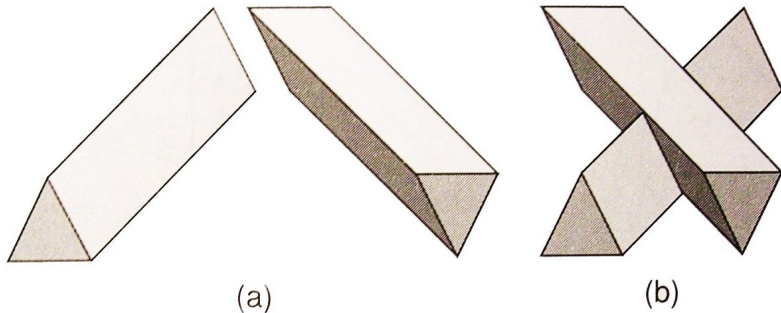
$$A = \{ Q(t)x + s(t) \mid x \in A_0 \wedge t \in [0, T] \}$$

## různé druhy objektů $A_0$ a trajektorií $H_s$ :

- $A_0$  je 2D (rovinný) objekt, tažený po úsečce na něj kolmé - *translational sweep* nebo *extrusion*
- rotace 2D objektu kolem osy - *rotational sweep*
- obecný pohyb 2D objektu - tzv. zobecněný válec

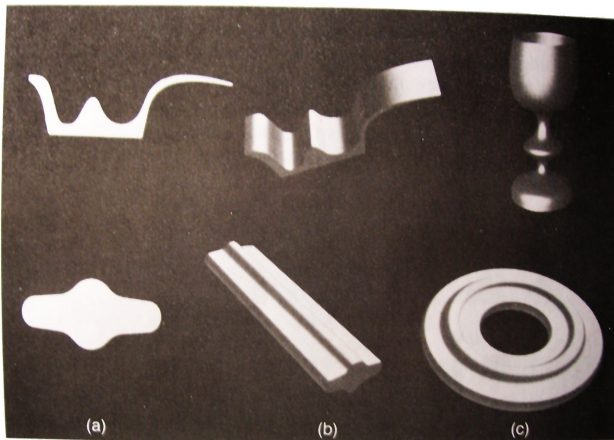
## Vlastnosti tahových reprezentací

- nejsou uzavřené vůči booleovským operacím



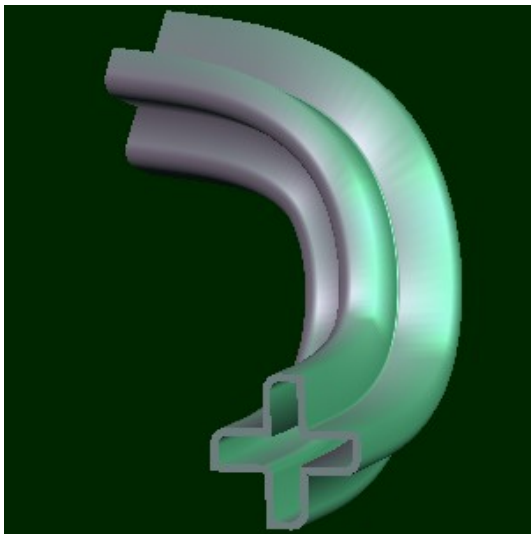
- jsou přirozeným postupem výroby mnoha objektů

## Tahové reprezentace - příklady



**Fig. 12.8** Sweeps. (a) 2D areas are used to define (b) translational sweeps and (c) rotational sweeps. (Created using the Alpha\_1 modeling system. Courtesy of the University of Utah.)

## Tahové reprezentace - příklady

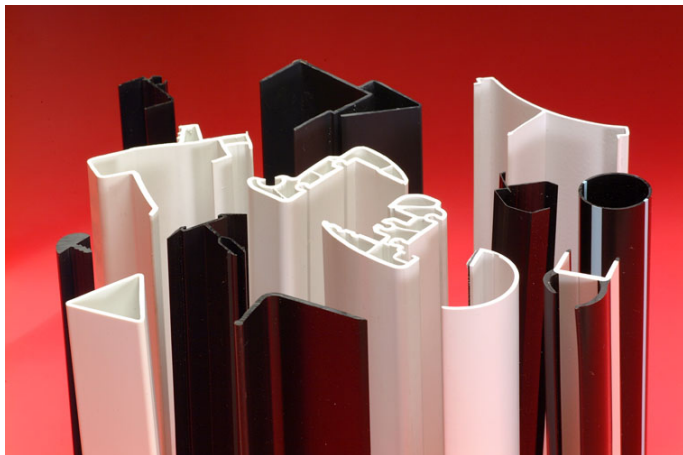




## Tahové reprezentace - příklady



# Tahové reprezentace - příklady



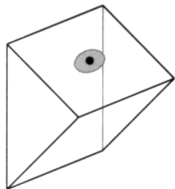
Plastové výrobky

# Obsah

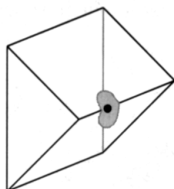
- 1 Reprezentace pevných těles
- 2 Objemové reprezentace
- 3 Tahové reprezentace
- 4 Hraniční reprezentace**
- 5 Polygonální síť

## Hraniční reprezentace

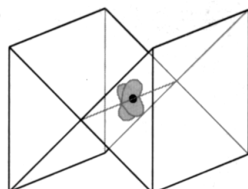
- boundary representation, „*b-rep*“
- popis objektu pomocí jeho povrchu - vrcholy, hrany a stěny
- obvykle polygonální reprezentace, resp. navíc požadavek konvexnosti polygonů
- častý požadavek, aby objekty byly tzv. 2-variety (*manifold*): lokálně popsané homeomorfismem  $f : \mathbb{R}^2 \mapsto \mathbb{R}^3$  ( $f$  prostá,  $f$  spojitá,  $f^{-1}$  spojitá), tj. okolí každého bodu je topologicky ekvivalentní s okolím v rovině



(a)



(b)



(c)

# Mnohostěny

- *mnohostěn* - těleso ohraničené množinou polygonů, jejichž hrany jsou vždy společné sudému počtu stěn (pro 2-variety právě dvěma)
- jednoduchý mnohostěn - nemá díry  $\implies$  lze jej deformovat na kouli
- **Eulerův zákon** pro mnohostěny:

$$V - E + F = 2,$$

kde  $V$  je počet vrcholů (vertex),  $E$  počet hran (edge) a  $F$  počet stěn (face).

- nutná, ale nikoliv postačující podmínka, aby dané těleso bylo mnohostěn

## Další podmínky na mnohostěn

- každá hrana musí spojovat dva vrcholy a být společný dvěma stěnám
- ve vrcholech se musí stýkat alespoň tři hrany
- stěny se nesmí navzájem pronikat
- Eulerův zákon pro 2-variety s dírami

$$V - E + F - H = 2(C - G),$$

kde navíc  $H$  je počet děr ve stěnách,  $G$  počet děr procházejících skrz těleso a  $C$  je počet jednotlivých komponent objektu.

## Generování vrstevnice - Marching cubes 1/2

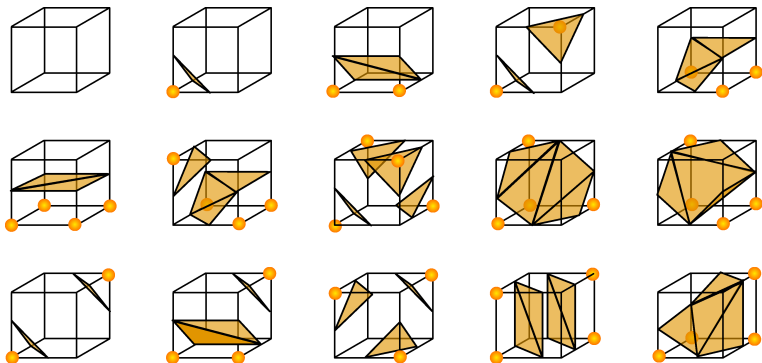
- skalární data definovaná v 3D objemu, resp. na 3D síti
- mnoho zdrojů dat: numerické simulace, měření
  - proudění (pole tlaku, teploty, složky rychlosti, hustoty, koncentrace, ...)
  - deformace pevných těles (tlak, napětí, ...)
  - medicína: MRI, CT, ...
- snaha rekonstruovat a zobrazit povrch

$$f(x, y, z) = C$$

- *marching cubes* - rozdělení prostoru na krychle, určení hodnoty  $f$  v rozích krychle
  - $f(x, y, z) > C$
  - $f(x, y, z) < C$
- krychlemi, kde se vyskytují oba případy, prochází vrstevnice

## Generování vrstevnice - Marching cubes 2/2

- 15 různých případů (až na symetrie)



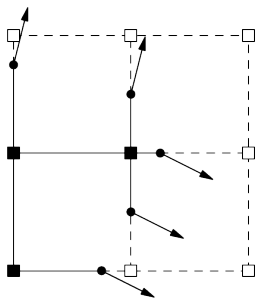
- výpočet normálových vektorů podle gradientu pole (pro osvětlovací model)



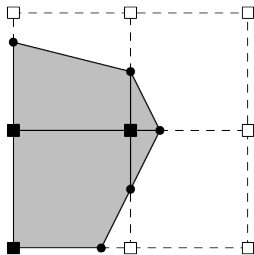
## Generování vrstevnice - Dual Contouring

- rozdělení prostoru na krychličky (lze rovnoměrně i adaptivně)
- identifikace hran, kterými prochází izoplocha (stejně, jako v *marching cubes*)
  - tzv. *heterogenní* hrany
- výpočet průsečíků vrstevnice s heterogenními hranami
  - parametrický popis hrany + řešení rovnice  $f(\mathbf{x}(t)) = 0$
- výpočet normálových vektorů k ploše v průsečících (výpočet  $\nabla f$ )
- vygenerování **1 vrcholu polygonální sítě uvnitř krychle** pomocí dat ze všech heterogenních hran
  - minimalizace kvadratické funkce nebo iterativní pohyb
- každé heterogenní hraně přísluší 1 polygon s vrcholy ve všech krychlích, které ji sdílejí

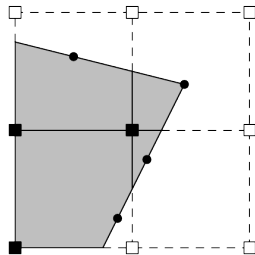
# Marching Cubes vs. Dual Contouring



hermitovská data



Marching Cubes



Dual Contouring

## CSG v implicitním popisu těles

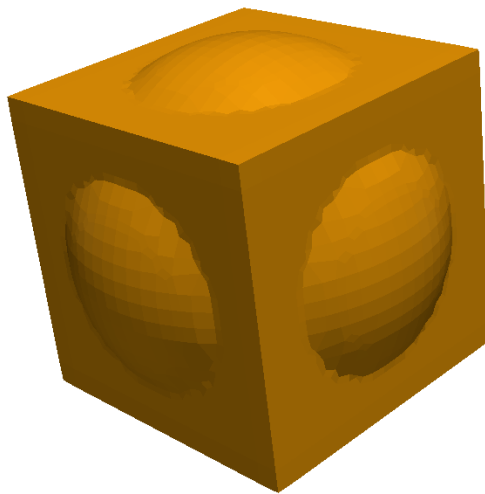
- dvě tělesa  $A, B$  popsaná pomocí nulových izoploch funkcí  $f, g$  jako

$$A = \{ \mathbf{x} \in \mathbb{R}^3 \mid f(\mathbf{x}) \leq 0 \}, \quad B = \{ \mathbf{x} \in \mathbb{R}^3 \mid g(\mathbf{x}) \leq 0 \}$$

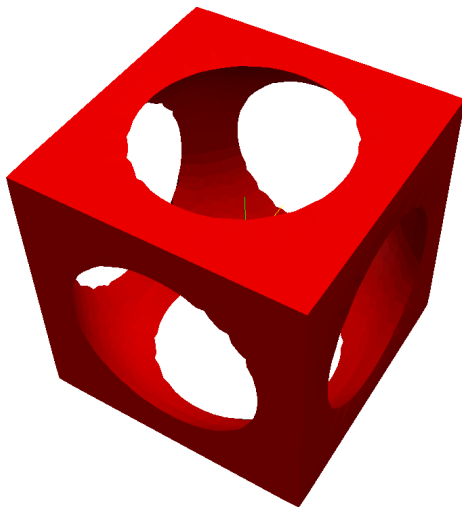
- **potom:**

- sjednocení  $A \cup B = \{ \mathbf{x} \in \mathbb{R}^3 \mid \min \{ f(\mathbf{x}), g(\mathbf{x}) \} \leq 0 \}$
- průnik  $A \cap B = \{ \mathbf{x} \in \mathbb{R}^3 \mid \max \{ f(\mathbf{x}), g(\mathbf{x}) \} \leq 0 \}$
- rozdíl  $A \setminus B = \{ \mathbf{x} \in \mathbb{R}^3 \mid \max \{ f(\mathbf{x}), -g(\mathbf{x}) \} \leq 0 \}$

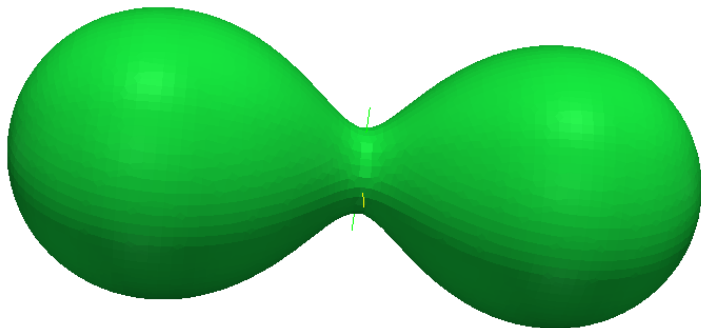
# Dual Contouring - příklady



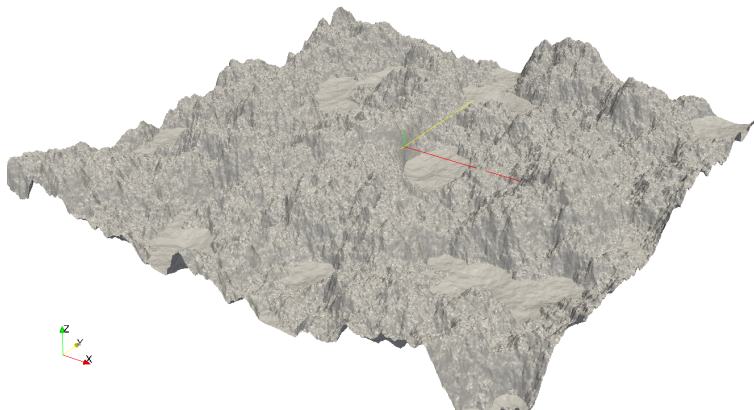
# Dual Contouring - příklady



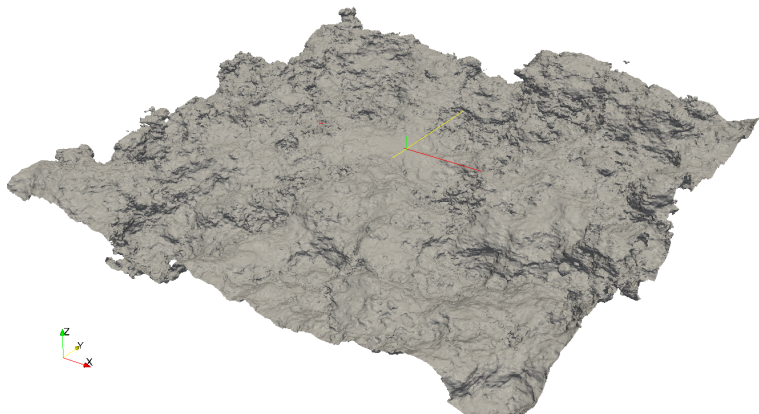
## Dual Contouring - příklady



# Dual Contouring - příklady

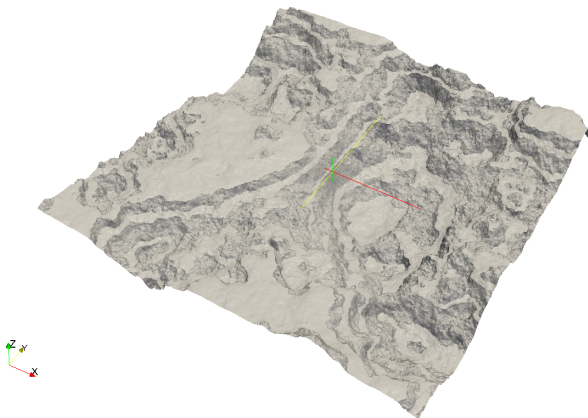


# Dual Contouring - příklady





# Dual Contouring - příklady



# Obsah

- 1 Reprezentace pevných těles
- 2 Objemové reprezentace
- 3 Tahové reprezentace
- 4 Hraniční reprezentace
- 5 Polygonální síť**

# Polygonální síť

- množina vrcholů, hran a polygonů
  - hrana tvořená dvěma vrcholy
  - polygon tvořen (uzavřenou) sekvencí hran
  - hrana sdílena 2 polygony, vrchol sdílen alespoň třemi hranami
- vhodná reprezentace polygonální sítě v počítači
  - implicitně obsahuje pravidla výše
  - snadno umožňuje implementovat typické operace: najít hrany sdílející vrchol, najít polygony sdílející hranu nebo vrchol, najít hrany polygonu apod.

# Reprezentace polygonálních sítí

## 5 způsobů uložení polygonální sítě v počítači

- explicitní
- ukazatele do seznamu vrcholů
- ukazatele do seznamu hran
- okřídlená hrana (winged edge)
- half edge

# Explicitní reprezentace

- každý polygon reprezentován seznamem souřadnic vrcholů

$$P = (\mathbf{v}_1, \mathbf{v}_2, \dots, \mathbf{v}_n)$$

$$\mathbf{v}_i = [x_i, y_i, z_i]$$

- vrcholy v pořadí procházení kolem  $P$
- hrany mezi  $\mathbf{v}_i$  a  $\mathbf{v}_{i+1}$  (kde  $\mathbf{v}_{n+1} = \mathbf{v}_1$ )
- mimořádně nešikovné:
  - plýtvání - souřadnice sdílených vrcholů uloženy vícekrát
  - není informace o sdílených hranách a vrcholech - nutné prohledávat všechny polygony + porovnávat float čísla ... nespolehlivé
  - při kreslení hran - každá hrana kreslena dvakrát

## Ukazatele do seznamu vrcholů

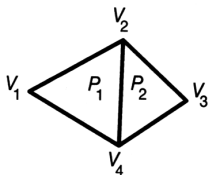
- všechny vrcholy uloženy v jednotném seznamu vrcholů

$$V = (\mathbf{v}_1, \mathbf{v}_2, \dots, \mathbf{v}_N)$$

- polygon definovaný seznamem indexů (resp. ukazatelů „\*“) do seznamu vrcholů

$$P = (*\mathbf{v}_1, *\mathbf{v}_2, \dots, *\mathbf{v}_n)$$

- výhoda - každý vrchol uložen jen jednou
- nevýhoda - stále žádná informace o společných hranách



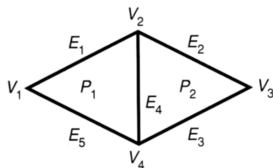
$$V = (V_1, V_2, V_3, V_4) = ((x_1, y_1, z_1), \dots, (x_4, y_4, z_4))$$

$$P_1 = (1, 2, 4)$$

$$P_2 = (4, 2, 3)$$

## Ukazatele do seznamu hran

- seznam vrcholů  $V$
- hrana  $e = \{ *v_1, *v_2, *P_1, *P_2 \}$  definovaná **ukazateli** do  $V$ , navíc vybavená ukazateli na polygony, které ji sdílejí
- seznam hran  $E = (e_1, e_2, \dots, e_M)$
- polygon  $P = (*e_1, *e_2, \dots, *e_n)$  je  $n$ -tice ukazatelů do  $E$
- stále není snadné určit hrany procházející z vrcholu (nutno prohledat všechny hrany)



$$V = (V_1, V_2, V_3, V_4) = ((x_1, y_1, z_1), \dots, (x_4, y_4, z_4))$$

$$E_1 = (V_1, V_2, P_1, \lambda)$$

$$E_2 = (V_2, V_3, P_2, \lambda)$$

$$E_3 = (V_3, V_4, P_2, \lambda)$$

$$E_4 = (V_4, V_2, P_1, P_2)$$

$$E_5 = (V_4, V_1, P_1, \lambda)$$

$$P_1 = (E_1, E_4, E_5)$$

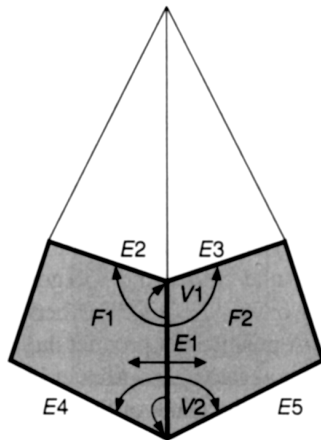
$$P_2 = (E_2, E_3, E_4)$$

## Okřídlená hrana 1/2

- hrana má ukazatele na:
  - své dva vrcholy
  - dva polygony, které ji sdílejí
  - čtyři další hrany, které z ní vycházejí
- vrchol má
  - souřadnice
  - ukazatel na jednu z hran, které z něj vycházejí
- polygon má
  - ukazatel na jednu ze svých hran (neumožňuje díry)

nebo

- seznam smyček hran - jedna vnější smyčka procházená po směru hod. ručiček a nula nebo více vnitřních smyček procházených proti směru hod. ručiček = děr

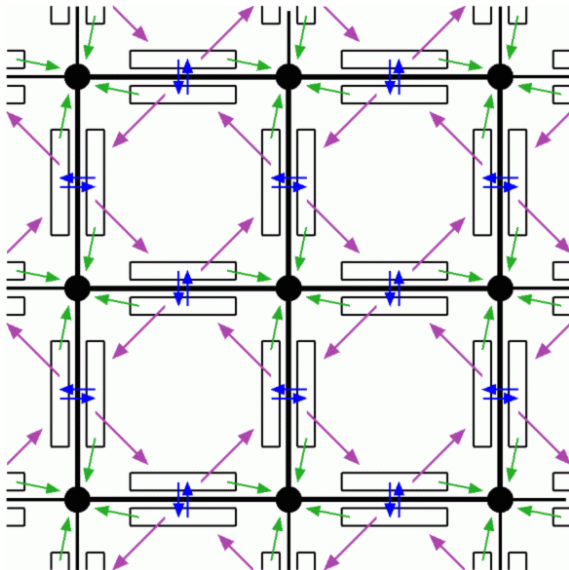




## Okřídlená hrana 2/2

- geometrie zabírá málo místa oproti *topologii*
- snadné určení sousedství hran, vrcholů, polygonů, příslušnost hran polygonům atd.
- do reprezentace lze přidat další informace: normály ve vrcholech, barva + normála pro stěnu (pro stínování), ...
- nejčastěji používaná reprezentace, avšak stále ne vždy vhodná - založená na práci s hranami (dělené povrchy - práce se stěnami)

# Half-edge



# Zpracování polygonálních sítí

## 4 operace s polygonální sítí před vykreslením

- 1 *teselace* (*tessellation* = vydláždění) ... vyjádření 3D dat ve vhodné polygonální reprezentaci (trojúhelníky  $\implies$  *triangulace*, ale i konvexní polygony,...). Výslednou síť lze efektivně dále zpracovávat (hardwarová akcelerace).
- 2 *konsolidace* ... příprava pro zobrazování (generování normál, zajištění konzistentní orientace polygonů, označení ostrých hran, ...)
- 3 výroba pásů (*strip*), resp. vějířů (*fan*) trojúhelníků pro rychlý rendering (efektivní datová struktura, podpora HW akcelerace)
- 4 zjednodušení sítě (snížení počtu trojúhelníků - pro určité situace stále dostačující model)
  - uniformní
  - adaptivní

## Triangulace 1/3

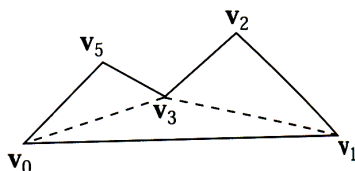
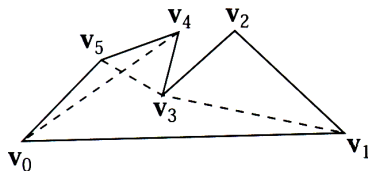
- **promítnutí polygonu do roviny** zjednoduší algoritmy triangulace
- zahození jedné ze souřadnic  $x, y, z \implies$  promítnutí do roviny  $yz, xz, xy$
- jak vybrat nejvhodnější rovinu (vzhledem k robustnosti numerických výpočtů)
  - vybrat rovinu, kde má průmět polygonu největší plochu
  - zahodit souřadnici, odpovídající složce normálového vektoru  $\nu$  polygonu, která má největší absolutní hodnotu
- oba uvedené testy nejsou vždy ekvivalentní - záleží na způsobu výpočtu  $\nu$
- průmět polygonu nemusí tvořit jednoduchou křivku ( $\implies$  průsečíky)

## Triangulace 2/3

- triangulace polygonu o  $n$  vrcholech má  $n-2$  trojúhelníků

**ořezávání rohů** (ear clipping) - nejjednodušší algoritmus, složitost  $O(n^2)$

- polygon  $P = (\mathbf{v}_0, \mathbf{v}_1, \dots, \mathbf{v}_{n-1})$ ;  $\mathbf{v}_n = \mathbf{v}_0$
- procházíme vrcholy  $\mathbf{v}_i, \mathbf{v}_{i+1}, \mathbf{v}_{i+2}$  (modulo  $n$ )
- jestliže úsečka  $\mathbf{v}_i \mathbf{v}_{i+2}$  neprotíná žádnou hranu polygonu, tak vrchol  $\mathbf{v}_{i+1}$  tvoří roh
- vrchol  $\mathbf{v}_{i+1}$  odstraníme z polygonu, vytvoříme  $\triangle \mathbf{v}_i \mathbf{v}_{i+1} \mathbf{v}_{i+2}$



## Triangulace 3/3

- komplexnější algoritmy - složitost  $O(n \log n)$  nebo dokonce  $O(n)$  (pouze průměrná složitost, existují protipříklady)
- někdy stačí rozdělit polygon na konvexní komponenty
- použitelný teselátor
  - ošetření patologických případů
  - ošetření problémů konečné přesnosti výpočtů (robustnost)
- *OpenGL Utility Library*

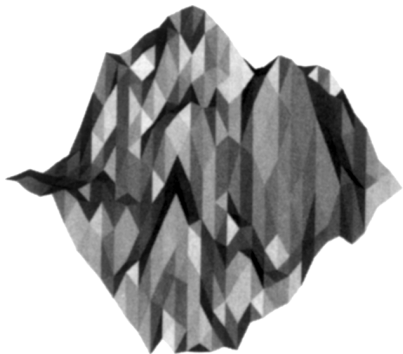
## Triangulace čtyřúhelníků

- vstupní data: např. dělení Catmull-Clark (generuje pouze čtyřúhelníky)
- nekonvexní čtyřúhelník - lze rozdělit jediným způsobem
- konvexní čtyřúhelník - volba diagonály ze 2 možností
  - bez dodatečných dat ve vrcholech  $\implies$  kratší diagonála
  - předpočítané osvětlení (viz radiozita - na konci semestru)  $\implies$  diagonála s menšími rozdíly mezi barvami



- terén  $\implies$  výběr diagonály s menším/větším rozdílem výšek, úhlů normál  $\Delta$ , ...

## Rozdíl v triangulaci čtyřúhelníků - terén



pravidelná volba diagonály



diagonála přes vrcholy s  
menším rozdílem výšek

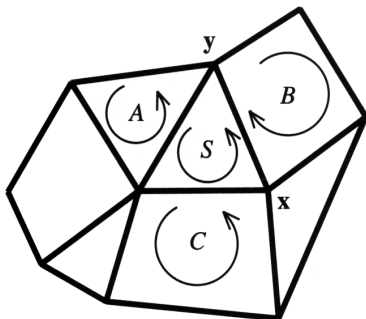


# Konsolidace - orientace polygonů 1/2

- vstup - množina libovolných polygonů bez orientace a bez normál
- konsolidace
  - vytvoření datové struktury: pro každou hranu koncové vrcholy + polygon, jemuž náleží
  - lexikografické uspořádání vrcholů v hraně, odstranění hran s nulovou nebo zanedbatelnou délkou
  - nalezení identických hran (snadné díky uspořádání)  $\implies$  styčné hrany polygonů + krajní hrany
  - orientace polygonů (chceme u všech stejnou orientaci - např. proti směru hodinových ručiček)

## Konsolidace - orientace polygonů 2/2

- 1 sjednocení orientací všech polygonů ve skupině
  - 1 libovolný polygon  $P$
  - 2 nastavení shodné orientace u sousedů  $P$  (= abychom společnou hranu procházeli v **opačném** směru než u  $P$ )
  - 3 rekurzivní opakování předchozího kroku pro všechny nezkontrolované sousedy již zkontrolovaných polygonů
- 2 v případě potřeby se orientace u všech polygonů otočí



## Konsolidace - generování normál ve vrcholech

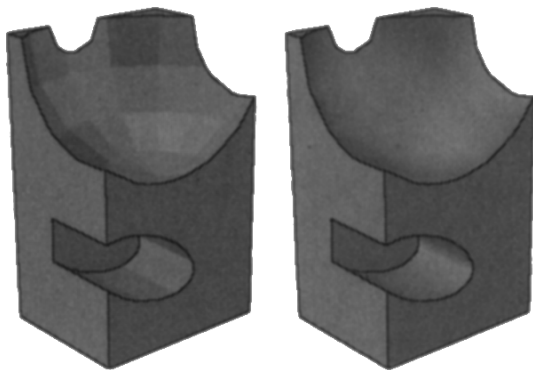
- normály se definují ve vrcholech, kde má být povrch ve skutečnosti hladký (jsou potřebné pro stínování - viz extra přednáška)
- způsoby, jak určit hladkost
  - vyhlazovací skupiny polygonů
  - mezní úhel (vyhlazujeme, pokud úhel mezi polygony (resp. jejich normálami) je  $>$  (resp.  $<$  pro normály) než daný práh)
- výpočet normály ve vrcholu
  - průměr normál přilehlých stěn (nevhodné)
  - vážený průměr podle délky hran polygonů (čím delší, tím menší vliv)

$$\mathbf{v} = \sum_{i=1}^n \frac{\mathbf{e}_i \times \mathbf{e}_{i+1}}{\|\mathbf{e}_i\|^2 \|\mathbf{e}_{i+1}\|^2}$$

pro  $n$  polygonů orient. proti směru hod. ručiček,  $\mathbf{e}_i \dots$  hrany vycházející z vrcholu, s indexy modulo  $n$

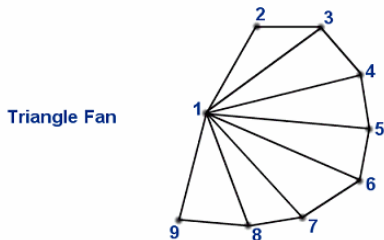
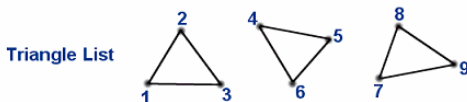
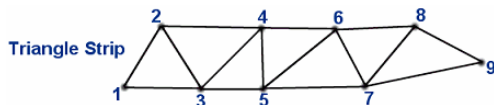
## Konsolidace - označení ostrých hran

- ostrá hrana (*crease*) - hranice mezi polygony patřícími do různých vyhlazovacích skupin



## Tvorba pásů a vějířů trojúhelníků

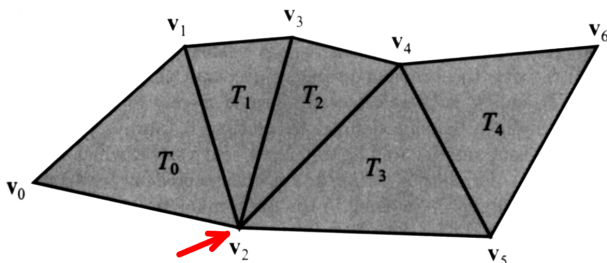
- snadná datová reprezentace, rychle se vykresluje
- definice jako seznam vrcholů ( $\mathbf{v}_1, \mathbf{v}_2, \dots, \mathbf{v}_n$ )



## Prohození trojúhelníků (*swap*)





- za cenu přidání 1 vrcholu umožňuje generovat delší pásy (stále výhodnější než začít nový pás)

$$(\mathbf{v}_0, \mathbf{v}_1, \mathbf{v}_2, \mathbf{v}_3, \mathbf{v}_4, \dots, \mathbf{v}_n) \mapsto (\mathbf{v}_0, \mathbf{v}_1, \mathbf{v}_2, \mathbf{v}_3, \underline{\mathbf{v}_2}, \mathbf{v}_4, \dots, \mathbf{v}_n)$$



z vrcholu  $\mathbf{v}_2$  nyní vychází o jednu hranu více

# Literatura

-  J. D. Foley, A. van Dam, S. K. Feiner, J. F. Hughes: *Computer Graphics: Principles and Practice*, Addison Wesley, 1997.
-  Žára, Beneš, Sochor, Felkel: *Moderní počítačová grafika*. Computer Press, 2005
-  B.G. Baumgart: *Winged-edge polyhedron representation*. Technical report STAN-CS-320, Stanford University, 1972.
-  Martti Maentylae: *An introduction to solid modelling*. Computer Science Press, 1988. (→half-edge)